

# - Векторски модел атома -

- Боров модел (и Бр-Зомерфелдов) може да опише велики број појава + вези са графом и особинама атома (спектар H и сличних зона, орбитни магнетизам).

- То су полукласични модели - пружају интуитивну слику о атому (спин-орбита спрега, дублети код енергетских нивоа, прецесија спина + пауб орбитног момента)

- Али нису могуће разматрати спин-орбитну интеракцију као деловање локалног поља електроноског спина на орбитни магнетни момент - прецесија ОММ + спинског локалног магнетног поља? мора бити исправно јер израз не зависи од пермутације орбитног и спинског момента.

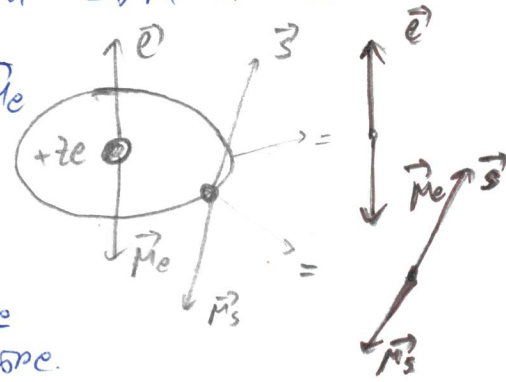
**ЗАПРАВО**, и спински и орбитни момент прецесују истовремено око једног резултанта.

↓ Уместо орбита, атомског језгра, ротације електрона и осталих визуелних представа - користимо само кључне елементе.

↓ електронска орбита - спрегнути вектори орбитног и орбитног магнетног момента

електрон - спрегнути вектори  $S$  и  $M$

Сведедио да ли  $\vec{B}_e$  на  $\vec{M}_s$  или  $\vec{B}_e$  на  $\vec{M}_e$



↓ Формална слика о структури атома  
**Векторски модел атома**

радијуса + величинама које могу да се мере и међусобни односи преко векторске алгебре.

(полуспинске орбите не може експ. да се одреди и нема ни физичког смисла...)

↓ Нарочито користан + атомској спектрографији  
мноштво експерименталних података може да се разврста и објасни.  
• Прикладби вост правилима + законитосима које нису очигледне ( $\vec{M}_e$  и  $\vec{S}$  у S-орбит са 0, али постоји дублетна структура линија)

↓ Уводи донос правила кода проистичу из квантне теорије и кода пружају могућност квантитативног описа појава и тумачење резултата

↓ Квантоване момената и пројекција на изабрани правец не могу да се објасне сликом изведеним из макросвета, али та слика ипак нам даје интуитивни опис многих особина

Элементы векторного модели: векторы углового и магнетного момента

$$\vec{M}_e = \mu_e \vec{L} \quad \vec{M}_s = \mu_s \vec{S} \quad \mu_e = -\frac{e}{2m} \quad \mu_s = -\frac{e}{m} \quad g_s = 2 = \frac{\mu_s}{\mu_e}$$

Магнетни моменти могат да се изразят през ~~свои~~ угловия и да се често не помнят изрично.

Орбитни углови момент  $\vec{L}$

$$|\vec{L}| = \sqrt{l(l+1)} \hbar$$

$\vec{L}_0$  единичен вектор чийто смисъл се определя от посоката на угловия момент

$l$  — орбитни квантни брой

$l = 0, 1, 2, \dots, n-1$

$n$  — главни квантни брой

$$|\vec{L}| = \sqrt{l(l+1)} \hbar$$

$$|\vec{L}|^2 = l(l+1) \hbar^2$$

Проекцията орбитного углового момента на произволно избрана ос (напримен  $z$ ) квантува се магнетним орбитним квантним броем  $m$ :

$$L_z = m \hbar$$

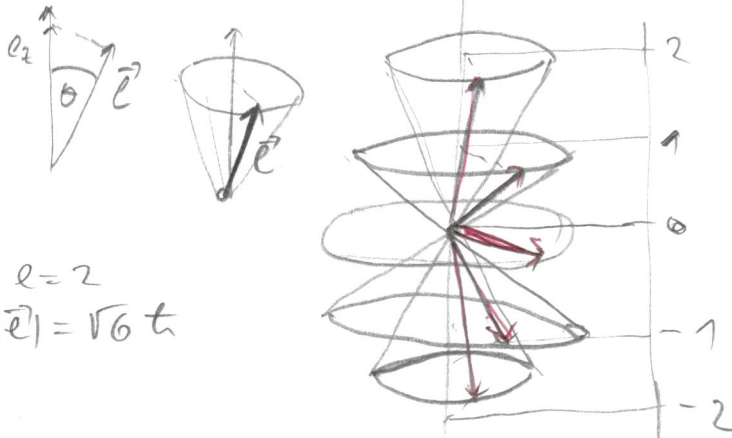
$$m = -l, -l+1, \dots, -1, 0, 1, \dots, l-1, l$$

Ванна особина која следи из ~~та~~ релације неопределености:  
 Ако колку се позната проекцијата вектора на произволно избрана прилика тада не може бити позната неговата проекција на неки други правец.  
 (квантна природа)

↓ Геометриско прикачување на оквиру векторског модели

$$\cos \theta = \frac{L_z}{|\vec{L}|} = \frac{m \hbar}{\sqrt{l(l+1)} \hbar}$$

$\theta$  се сфаќа, ми углови се дискретни правцима нива одредени



$\vec{L}$  се наоѓа некаде на ~~не~~ површина конус која се опишана око избраниот правец — вектор не прецесира око док се не наоѓе магнетно поле.

- Без магнетно поле нема прецесија — сфаќа имаат иста енергија (дегенеративна сфаќа) и вектор  $\vec{L}$  се може наоѓа са подеднаком веројатносом на било која конус.

Квантно сфаќа се орбитни квантни броем  $l$  може да се оствари на  $(2l+1)$  начин, т.е. има  $(2l+1)$  проекцији.

$L_z \leq |\vec{L}| \Rightarrow$  вектор не може да се биде паралелен са осом на која се проектира  $\Rightarrow$  не може бити паралелен нива (када нива нива) на затоа делува до прецесија.

(за  $L_z = |\vec{L}|$  биве би познате  $L_x$  и  $L_y = 0$ )

Списки тлади момент  $\vec{S}$

$$\vec{S} = \sqrt{S(S+1)} \hbar \vec{S}^0$$

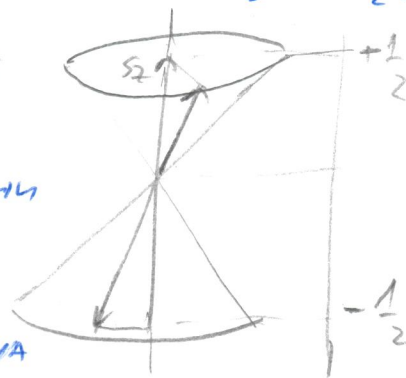
$$S = \frac{1}{2}$$

$$S_z = m_s \hbar \quad m_s = -\frac{1}{2}, +\frac{1}{2}$$

$$|\vec{S}| = \sqrt{S(S+1)} \hbar$$

$\uparrow$   
3x електрон

$$|\vec{S}_z| = S(S+1) \hbar^2$$



Акогнота разматрања као за орбитни тлади момент  $\vec{L}$  за сваки тлади момент  $\vec{S}$  разлике  $\hbar$  величини и радиусу одговарајућих квантних бројева.  $\Rightarrow$  Радност векторског модела олност

- ВРАМО ПРОИЗВОДИМ ПРАВЦА ПОД АГОМ  $\theta$   $\times$  ОКСУ НА ВЕКТОР  $\vec{S}$
- ПРОЕКЦИЈА  $\vec{S}$  ОДРЕЂЕНА ОДНОСНО ЈЕДИНОГ ПРАВЦА ( $S_z$ )
- $\theta$  СТОЈТ ОДРЕЂЕНА С  $m_s$ ,  $\vec{S}$   $\times$  НА ПОВРШИНЕ КТОЕ КОЈА  $\times$  ОПИСИВА ОКО ИЗБИРАНОГ ПРАВЦА
- $m_s = \pm \frac{1}{2} \Rightarrow$  ПОСТОЈЕ ДВА МОЋУА СТОЈА КИДЕ С  $\times$  ЕНЕРГИЈЕ,  $\times$  ОДСТУПВУ МАГНЕТОМ ПОБА, ЈЕДИНАКЕ
- $\vec{S}$  СЕ МОЖЕ ИМАТИ НА ПОВРШИНЕ ВИМО КОЈЕ КТОЕ И НЕ ПРЕЦЕСИДЕ.

$$|\vec{S}| = \frac{\sqrt{3}}{2} \hbar \quad S = \frac{1}{2}$$

$\uparrow$  интензитет спинског тладиог момента  $\uparrow$  спински квантни број

Орбитни магнетни момент,  $\vec{M}_e$

$$\vec{M}_e = -M_B \frac{\vec{L}}{\hbar} \quad M_B = \frac{e\hbar}{2m}$$

$$\vec{M}_e = -g_e M_B \frac{\vec{L}}{\hbar} \quad g_e = 1 \quad (\text{сличноста са спинским и тотним моментима})$$

$$\vec{M}_e = -g_e M_B \sqrt{L(L+1)} \vec{L}^0 \quad \text{" " } \text{спротиви смер од } \vec{L}$$

$$|\vec{M}_e| = +g_e M_B \sqrt{L(L+1)}$$

$$M_{e,z} = -m_e M_B$$

Одсутство поба не мења једносе квантовања већ само енергију и фреквенцију прецесије.  
 Ван поба  $\vec{M}_e$  и  $\vec{L}$  се разликују само за скаларни коеститут.  
 С  $\times$  Утиска разлика се дава тек при поави поба - магнетно поба делте на орбитни тлади момент само преко њенх придруженог магнетног момента. (и тада остаје иста веза.)

Спински магнетни момент  $\vec{M}_s$

$$M_s = -g_s M_B \frac{\vec{S}}{\hbar}$$

$$M_s = -g_s M_B \sqrt{S(S+1)} \hbar \vec{S}^0$$

$$|\vec{M}_s| = -g_s M_B \sqrt{S(S+1)} \hbar$$

$$M_{s,z} = -g_s m_s M_B$$

# МЕХАНИЗАМ СПРЕЗЊА МОМЕНТА

## УГЛОВИ МОМЕНТИ

- интеракција са околином само преко слабог гравитационог поља које потиче од масе која се придружена моменту
- нема механизма за непарану интеракцију са околином и другим моментима

## МАГНЕТНИ МОМЕНТИ

- око сваког магнетног дипола постоји магнетно поље које може да делује на друге магнетне моменте.
- делство се преноси и на угловне моменте
- формула слика спин-орбитне интеракције следи

Међуделство СММ  $\vec{M}_e$  и локалног магнетног поља  $\vec{B}_e$  (које потиче од орбитног кретања електрона) исте се врсте као и међуделство са спољњим магнетним пољем:

$$\frac{d\vec{S}}{dt} = \mu_s \vec{S} \times \vec{B}_e$$

и обрнуто ОММ  $\vec{M}_e$  са  $\vec{B}_s$ :

$$\frac{d\vec{e}}{dt} = \mu_e \vec{e} \times \vec{B}_s$$

Ходитице кретања  $\vec{B}_e$  и  $\vec{B}_s$  нису саглавни поља па нема односавне интеграције.

$$\vec{B}_e = k_e (x_s, y_s, z_s) \vec{M}_e$$

→ зависи од величине момента од којег потиче, локалне геометрије (положаја тачке у којој се мери и  $\vec{M}_e$ ).

$$\vec{B}_e = k_e (x_s, y_s, z_s) \mu_e \vec{e}$$

$$\vec{B}_s = k_s (x_e, y_e, z_e) \vec{M}_s$$

$$\vec{B}_s = k_s (x_e, y_e, z_e) \mu_s \vec{S}$$

$$-\vec{M}_s \cdot \vec{B}_e = -\vec{M}_e \cdot \vec{B}_s \rightarrow \text{енергије међуделовања су исте.}$$

$$k_e (x_s, y_s, z_s) = k_s (x_e, y_e, z_e) = K$$

$$\frac{d\vec{S}}{dt} = \mu_s \mu_e K \vec{S} \times \vec{e}$$

$$+ \frac{d\vec{e}}{dt} = \mu_s \mu_e K \vec{e} \times \vec{S}$$

Углови орбитни и углови спински момент су међусобно спрегнути.

спрегање  $\times$  магнетне природе - зависи од хипермагнетних односа.

$$\frac{d\vec{S}}{dt} + \frac{d\vec{e}}{dt} = \mu_s \mu_e K (\vec{S} \times \vec{e} + \vec{e} \times \vec{S})$$

$$\frac{d(\vec{S} + \vec{L})}{dt} = \mu_B \mu_e K (\vec{S} \times \vec{L} - \vec{L} \times \vec{S}) = 0$$

$$\vec{L} + \vec{S} = \text{const}$$

Иако су вектори  $\vec{L}$  и  $\vec{S}$  + кретања, њихов збир остаје слатан.

Када су вектори орбиталног и спиновог момента спрегнути њихов збир је константа кретања. Укупни углови момент:

$$\vec{J} = \vec{L} + \vec{S}$$

$\vec{L}$  и  $\vec{S}$  се кретају + саглашено и њихов збир остаје слатан, па се дозвољава да се разматра кретање само једне компоненте.

$$\frac{d\vec{S}}{dt} = \mu_B \mu_e K (\vec{S} \times \vec{L} + \vec{S} \times \vec{S}) = \mu_B \mu_e K (\vec{S} \times (\vec{L} + \vec{S})) = \mu_B \mu_e K \vec{S} \times \vec{J}$$

$\vec{J}$  се не мења током времена па можемо интерпретирати.

Али и из облика дефиниције закључујемо да  $\vec{S}$  прецесује око  $\vec{J}$ . Следи и да друга компонента  $\vec{L}$  такође прецесује.

Спин-орбитално међуделовање (које се магнетно по природи) доводи до тога да  $\vec{L}$  и  $\vec{S}$  прецесују око свог векторског збира  $\vec{J}$  - који је константа кретања спрегнутих вектора.

### Укупни углови момент

- константа кретања спрегнутих вектора  $\vec{L}$  и  $\vec{S}$
- квантује се одговарајућим квантним бројем:

$$\vec{J} = \vec{L} + \vec{S}$$

$$J = \sqrt{j(j+1)} \hbar \quad J_0$$

$$|J| = \sqrt{j(j+1)} \hbar$$

Правило из квантне механике разматрања унутрашњи квантни број

$$J = l + s, l + s - 1, \dots, |l - s| + 1, |l - s|$$

34 електронски систем  $s = \frac{1}{2}$

$$J = l \pm \frac{1}{2} \quad l > 0$$

$$J = \frac{1}{2} \quad l = 0$$

- просторно квантовање

$$J_z = m_j \hbar$$

$$m_j = -j, -j+1, \dots, j-1, j$$

↑ магнетни квантни број  
вертикалног углавог момента.

Вектор  $\vec{J}$  се налази на квантној висини  $\sqrt{j(j+1)} \hbar$  а висина  $m_j \hbar$ .

• Све геднашине произлизе из квантно механичке слике, али векторски модел олакшава њихово приказивање; као и узводне односе измеђ њих

• Слагаше се много сложеније него што изгледа на први поглед, беза измеђ вектора  $\vec{e}, \vec{s}$  и  $\vec{j}$  х миметрија, као и беза измеђ њихових квантних бројева, али ис и измеђ интензитета:

$$\sqrt{l(l+1)} + \sqrt{s(s+1)} \neq \sqrt{j(j+1)}$$

$\vec{e}, \vec{s}$  и  $\vec{j}$  спавају се само под одређеним условима и не могу бити паралелни:

$$\vec{j} \cdot \vec{j} = (\vec{e} + \vec{s}) \cdot (\vec{e} + \vec{s}) = \vec{e} \cdot \vec{e} + \vec{s} \cdot \vec{s} + 2\vec{e} \cdot \vec{s}$$

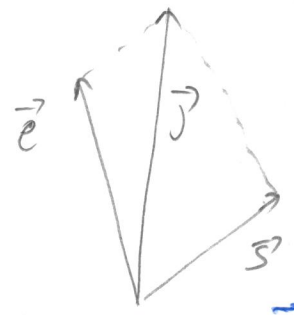
$$|\vec{j}|^2 = |\vec{e}|^2 + |\vec{s}|^2 + 2|\vec{e}||\vec{s}|\cos(\vec{e} \cdot \vec{s})$$

$$\begin{aligned} \cos(\vec{e} \cdot \vec{s}) &= \frac{|\vec{j}|^2 - |\vec{e}|^2 - |\vec{s}|^2}{2|\vec{e}||\vec{s}|} \\ &= \frac{j(j+1) - l(l+1) - s(s+1)}{2\sqrt{l(l+1)}\sqrt{s(s+1)}} \end{aligned}$$

$$j = \frac{3}{2} \quad |\vec{j}| = \frac{\sqrt{15}}{2} \hbar$$

$$l = 1 \quad s = \frac{1}{2} \quad |\vec{e}| = \sqrt{2} \hbar \quad |\vec{s}| = \frac{\sqrt{3}}{2} \hbar$$

$$j = \frac{1}{2} \quad |\vec{j}| = \frac{\sqrt{3}}{2} \hbar$$



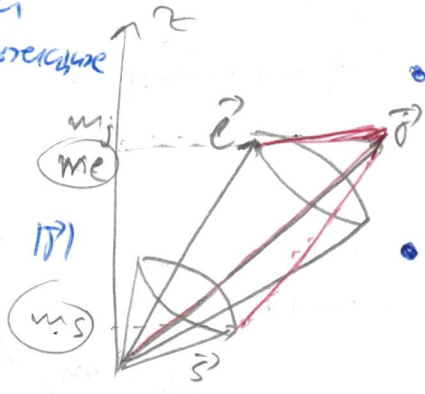
Прецесија  $\vec{e}$  и  $\vec{s}$  се користе за описивање квантована  $\vec{j}$  и успостављање односа измеђ  $m_e, m_s$  и  $m_j$ .

•  $\vec{j}$  се понаша као слободни вектор  $\vec{e}$  и  $\vec{s}$  + помера квантована пројекције

$$\cos\theta = \frac{j_z}{|\vec{j}|} = \frac{m_j}{\sqrt{j(j+1)}}$$

$m_j$  = const. за датих интензитета  $|\vec{j}|$

• Али ова прецесија ( $\vec{j}$ ) за  $\vec{e}$  и  $\vec{s}$  се не поклапа са осам пројектовања (производно изабрани z-оса) - на пројекције  $\vec{e}$  и  $\vec{s}$  на z исух стране.



•  $\vec{e}$  и  $\vec{s}$  прецесирају око  $\vec{j}$  и без стапањет пола

•  $\vec{j}$  не прецесира.

• Проекције  $\vec{L}$  и  $\vec{S}$  на изабрану ос, када су слепити, нису одређене  $\Rightarrow$  квантни бројеви  $m_l$  и  $m_s$  не могу бити одновремено одређени када и квантни број  $m_j$ .



За систем спрегнутих вектора квантни бројеви  $m_l$  и  $m_s$  нису добри квантни бројеви. (помоћ њих не може да се описује изабрана особина система)

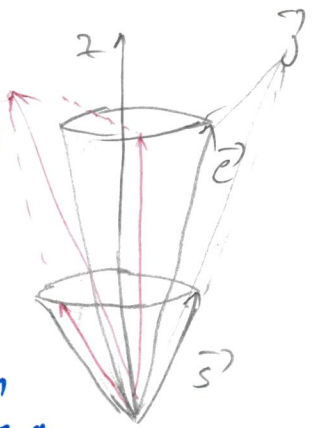


Квантни бројеви  $l$  и  $s$  су и када добри јер се помоћ њих изражава величина угаоних момента  $\vec{L}$  и  $\vec{S}$ .



Систем спрегнутих ~~и~~ угаоних момента (спинског и орбиталног) описује се квантним бројевима  $l, s, j$  и  $m_j$ .

- Када орбитни и спински угаони momenti нису спрегнути, веома мали ( $e \rightarrow 0$  и са великим  $n$ ) конст. спрегња или деловњем спаљивњим се изазове распрезибе.



$\vec{J} = \vec{L} + \vec{S} \neq \text{const}$

$\rightarrow$  Укупни угаони момент није констант није константа кретања

$\hookrightarrow$  не може да се одреди јер  $\vec{L}$  и  $\vec{S}$  нису  $\neq$  велич па се вредност  $j$  мења

Распрезати момент се понавља као изоловани momenti (сваки има свој Лапорови прецесит и спобаркет пол)

Имају одређене пројекције у произвољном правци, па су  $m_l$  и  $m_s$  добри квантни бројеви.

↓ Снаге системе распрегнутих угаоних момента одређује се квантним бројевима  $l, m_l, s, m_s$

Резиме, за систем који чине ДВА ОТЛОНА МОМЕНТА  $\vec{J}_1$  и  $\vec{J}_2$  (са квантним бројевима  $j_1$  и  $j_2$ ):

- Укупни отлони момент  $|\vec{J}| = \sqrt{j(j+1)} \hbar$   
 $J = j_1 + j_2, j_1 + j_2 - 1, \dots, |j_1 - j_2| + 1, |j_1 - j_2|$
- $\vec{J}$  лежи негде на кугли описаној око произвољног правца + однос на који се одређује његова пројекција
- Сваки појединачно има одређен интензитет  $|\vec{J}_1| = \sqrt{j_1(j_1+1)} \hbar$  и  $|\vec{J}_2| = \sqrt{j_2(j_2+1)} \hbar$
- Пројекција  $\vec{J}$  на z-осу износи  $m_j \hbar$ :  
 код спрегнута  $m_{j_1}$  и  $m_{j_2}$  су неодређени али због тога збир одређен и jednak  $m_j$ .
- Код неспрегнутих вектора, квантни број  $j$  се неодређује али  $m_{j_1}$  и  $m_{j_2}$  имају дискретне ситне вредности.
- У сваком случају систем који се састоји од ДВА ОТЛОНА МОМЕНТА одређен је са 4 КВАНТНА БРОЈА:  $j_1, j_2, j$  и  $m_j$  или  $j_1, j_2, m_{j_1}$  и  $m_{j_2}$   
 Различита представљања различитим квантним бројевима формално се сведуће на исти опис система.  
 Двослазности када одговара физичкој слици система.

## Укупни материјни момент

$$\vec{M}_J = \vec{M}_e + \vec{M}_s$$

$$\vec{M}_J = -\frac{M_B}{\hbar} (\vec{e} + 2\vec{s})$$

$$\bullet g_s = 2$$

$$\vec{M}_J = -\frac{M_B}{\hbar} (\vec{J} + \vec{s})$$

$$\bullet \vec{J} = \vec{e} + \vec{s}$$

↳ Не лежи на истом правцу као отлони момент  $\vec{J}$  ( $\vec{J}$  и  $\vec{s}$  не могу да леже на истом правцу)

↳ као и  $\vec{e}$  и  $\vec{s}$  и  $\vec{M}_J$  се прецесовати око укупног отлног момента  $\vec{J}$ .

Због стале промене ПРАВЦА интензитета  $M_j$  се не може експериментално мерити, али вредност  $M_j$  усредњена по времену једнака је његовој пројекцији на правцу прецесорности ( $\vec{j}$ )

↓  
СГВЈАНИ МАГНЕТИ МОМЕНТИ:

$$(\vec{M}_s)_j = -|\vec{M}_s| \cos(\vec{M}_s, \vec{j}) \vec{j}$$

$$(\vec{M}_s)_j = -\frac{M_B}{h} [|\vec{j}| \cos(\vec{j}, \vec{j}) + |\vec{S}| \cos(\vec{S}, \vec{j})] \vec{j}$$

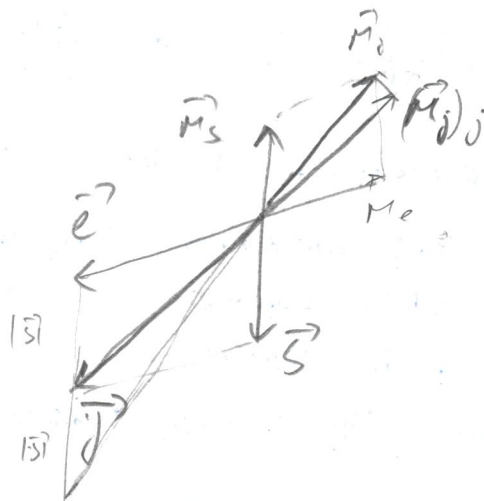
КАО И РАДИЈЕ ВЕЗА ИЗМЕЂУ СПИНСКИХ И МАГНЕТИХ МОМЕНТА

$$(\vec{M}_s)_j = -g_j M_B \frac{\vec{j}}{h}$$

ЛАНДЕСОВ  $g$  ФАКТОР АТОМА:

$$g_0 = 1 + \frac{|\vec{S}|}{|\vec{j}|} \cos(\vec{S}, \vec{j})$$

↑  
ОДНОС НИРОМАГНЕТИ НИ ОСОБИНА АТОМА ПРЕМА НИРОМАГНЕТИМ ОСОБИНА ОРБИТОЛ ЕЛЕКТРОНА



$$\vec{S} \cdot \vec{j} = |\vec{S}| |\vec{j}| \cos(\vec{S}, \vec{j})$$

$$g_0 = 1 + \frac{\vec{S} \cdot \vec{j}}{|\vec{j}|^2}$$

$$\vec{j} = \vec{L} + \vec{S}$$

$$\vec{L} = \vec{j} - \vec{S}$$

$$|\vec{L}|^2 = (\vec{j} - \vec{S})^2$$

$$|\vec{L}|^2 = |\vec{j}|^2 + |\vec{S}|^2 - 2\vec{S} \cdot \vec{j}$$

$$\vec{S} \cdot \vec{j} = \frac{|\vec{j}|^2 - |\vec{L}|^2 + |\vec{S}|^2}{2}$$

$$g_0 = 1 + \frac{|\vec{j}|^2 - |\vec{L}|^2 + |\vec{S}|^2}{2|\vec{j}|^2}$$

$$g_0 = 1 + \frac{j(j+1) - l(l+1) + s(s+1)}{2j(j+1)}$$

између 1  $g_j = g_l$

и 2  $g_0 = g_s$

↳ преко  $g_j$  се израчунава магнетне особине АТОМА

- СЛУИ - ОРБИТА ИТЕРАКЦИЈА

$$U_{ls} = a \frac{\vec{l} \cdot \vec{s}}{r^3}$$

$$a = E_0 \alpha^2 \frac{Z^4}{n^6}$$

↑  
БОРОВА ТЕОРИЈА

$$\frac{1}{4\pi\epsilon_0} \frac{Ze^2 \hbar^2}{2m^2 r^3 c^2} = a$$

ГАУАН ИЗРАЗ

$$\langle \frac{1}{r^3} \rangle = \frac{1}{n^3} \frac{Z^3}{n^3 e (e + \frac{1}{2})(e + 1)}$$

$$\langle \frac{1}{r^3} \rangle = \frac{1}{n^3} \frac{Z^3}{n^6}$$

$$a = E_0 \alpha^2 \frac{Z^4}{n^3 e (e + \frac{1}{2})(e + 1)}$$

$$j = \frac{1}{4\pi\epsilon_0} \frac{e^2}{c \hbar} \sim \frac{1}{137}$$

↓  
КОНСТАНТА ФИНЕ СТРУКТУРЕ

$$j = \vec{l} + \vec{s}$$

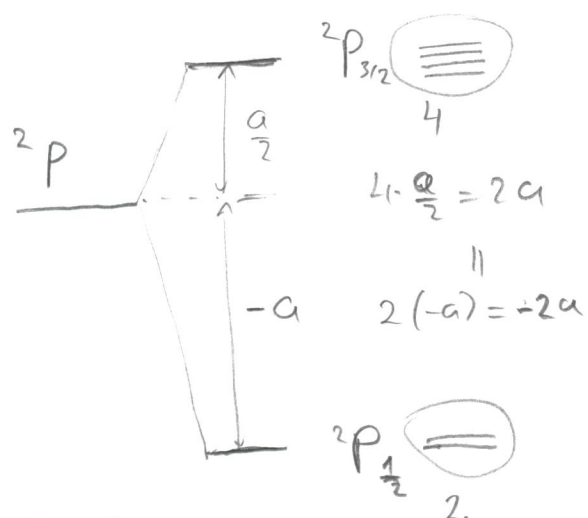
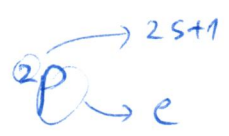
$$|\vec{j}|^2 = (\vec{l} + \vec{s})^2 \quad |\vec{j}|^2 = |\vec{l}|^2 + |\vec{s}|^2 + 2\vec{l} \cdot \vec{s}$$

$$\vec{l} \cdot \vec{s} = \frac{|\vec{j}|^2 - |\vec{l}|^2 - |\vec{s}|^2}{2}$$

$$\frac{\vec{l} \cdot \vec{s}}{\hbar^2} = \frac{1}{2} [j(j+1) - l(l+1) - s(s+1)]$$

$$U_{ls} = \frac{1}{2} a [j(j+1) - l(l+1) - s(s+1)]$$

ПРИМЕР:



$$e = 1 \quad s = \frac{1}{2}$$

$$j_1 = 1 + \frac{1}{2} = \frac{3}{2} \quad j_2 = 1 - \frac{1}{2} = \frac{1}{2}$$

$$U_{j_1} = \frac{1}{2} a \left[ \frac{3}{2} \left( \frac{3}{2} + 1 \right) - 1(1+1) - \frac{1}{2} \left( \frac{1}{2} + 1 \right) \right] = \frac{1}{2} a$$

$$U_{j_2} = \frac{1}{2} a \left[ \frac{1}{2} \left( \frac{1}{2} + 1 \right) - 1(1+1) - \frac{1}{2} \left( \frac{1}{2} + 1 \right) \right] = -a$$

Енергија не зависи од  $m_j$  + одсутност спиналног магнетног момента - Дегенерација  $2p_{3/2}$  4 и  $2p_{1/2}$  2.

$\vec{l}$  и  $\vec{s}$  „партнери“ ( $\cos \theta > 0, \theta < \frac{\pi}{2}$ )  $\Rightarrow \vec{l}_s$  и  $\vec{B}_e$  „Антипаралелни“  $U > 0$   
 $\vec{l}$  и  $\vec{s}$  „Антипаралелни“ ( $\theta > \frac{\pi}{2}$ )  $\Rightarrow \vec{l}_s$  и  $\vec{B}_e$  „партнери“  $U < 0$

• Меџудејство спинског магнетног поља и локалног магнетног поља орбитног кретања изражено као меџудејство глорних момента чепА сваки енергиски ниво НА ДВА (ЗА  $S = \frac{1}{2}$ )  $\Rightarrow$  ДУБЛЕТА СТРУКТУРА НИВОА

•  $S$  ( $l=0$ ) термови се не цепају, нема  $B_e$

• Вече  $j$  веча енергиса

•  $a \sim Z^4$